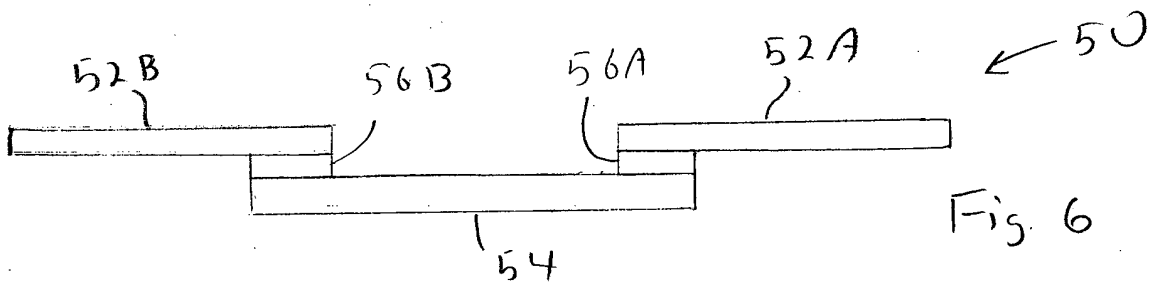
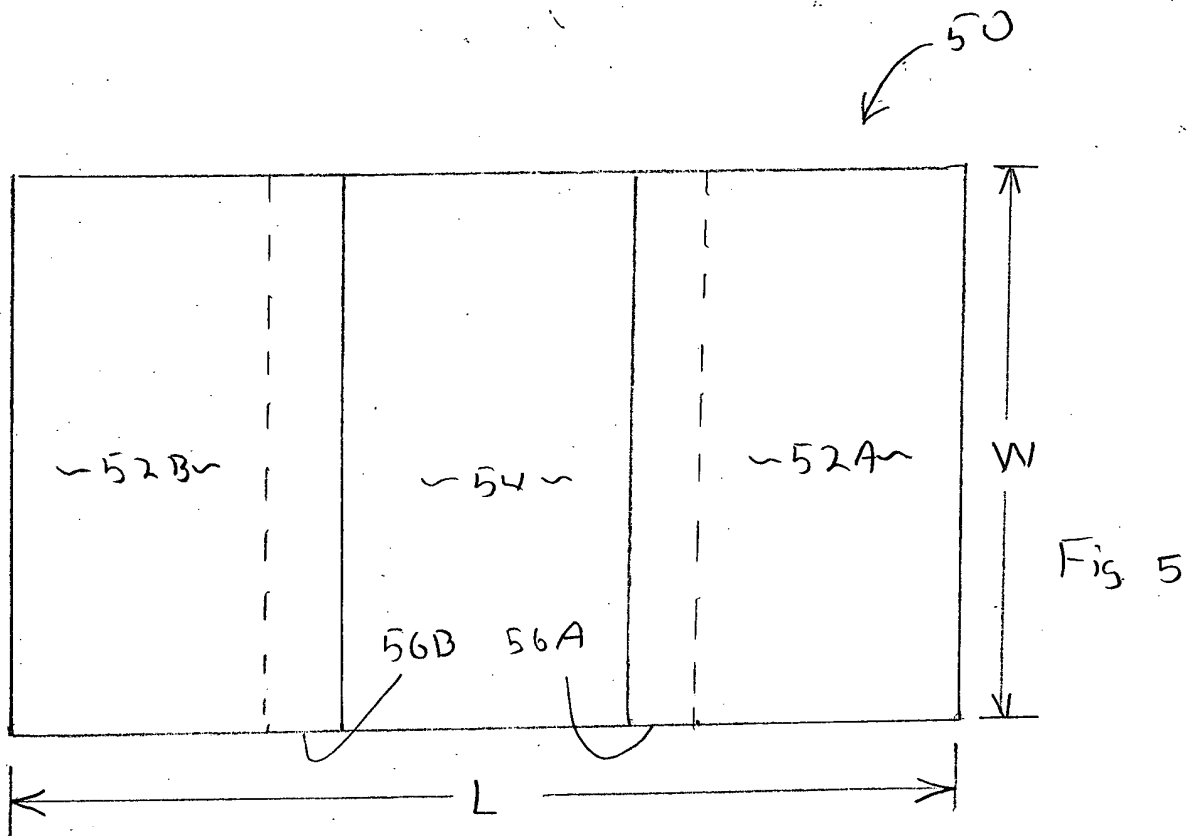
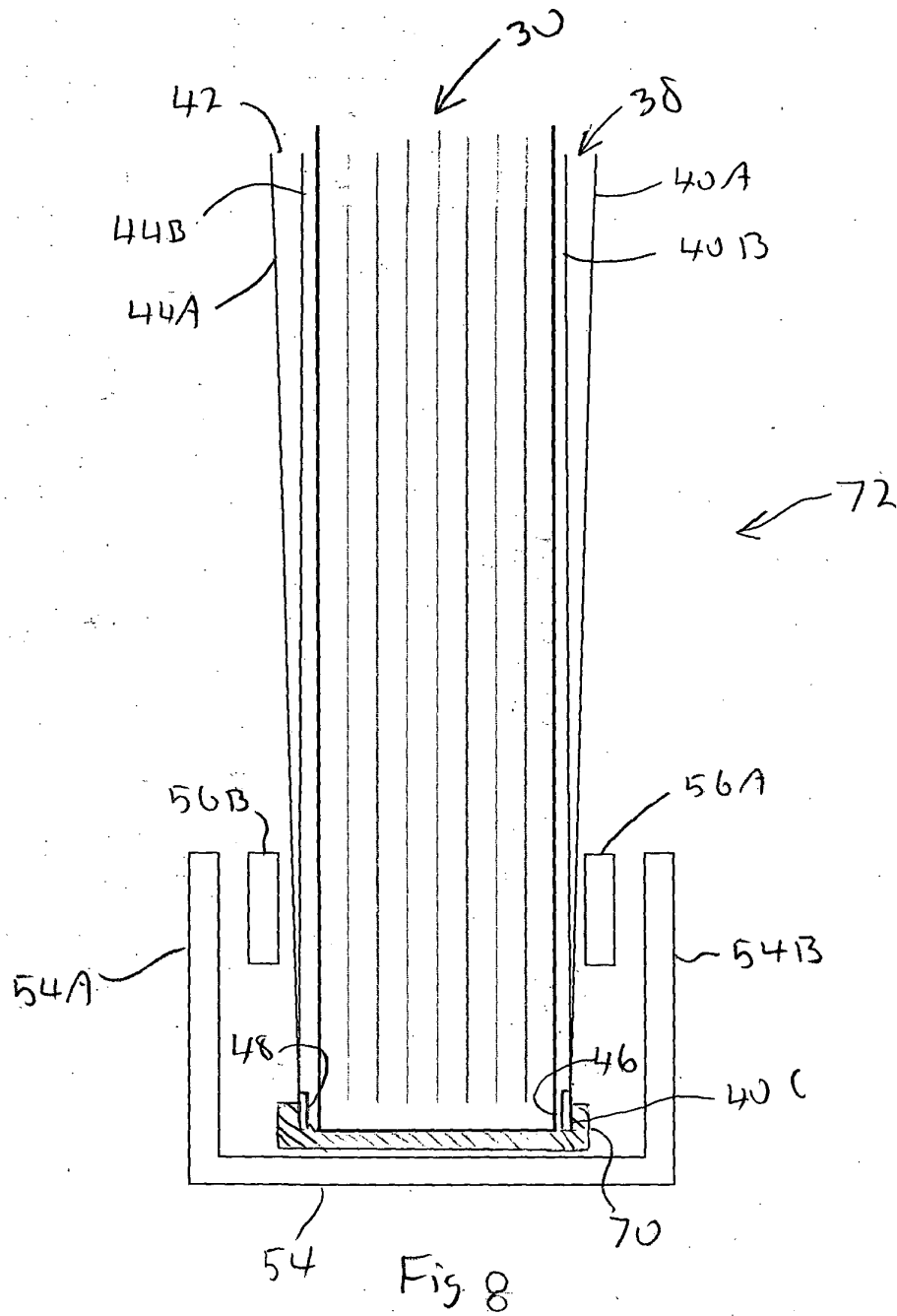


Fig. 4





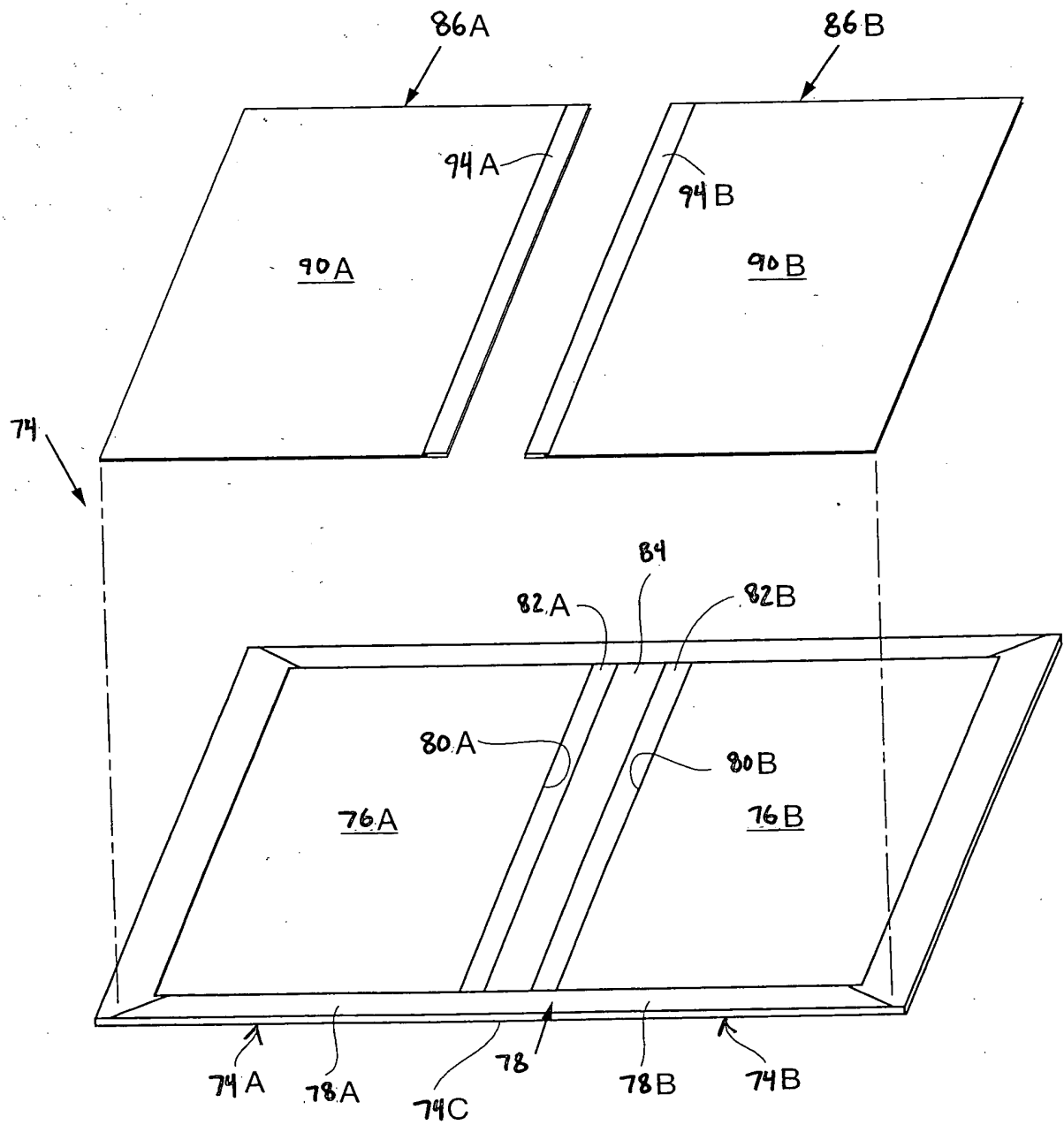


FIG. 9

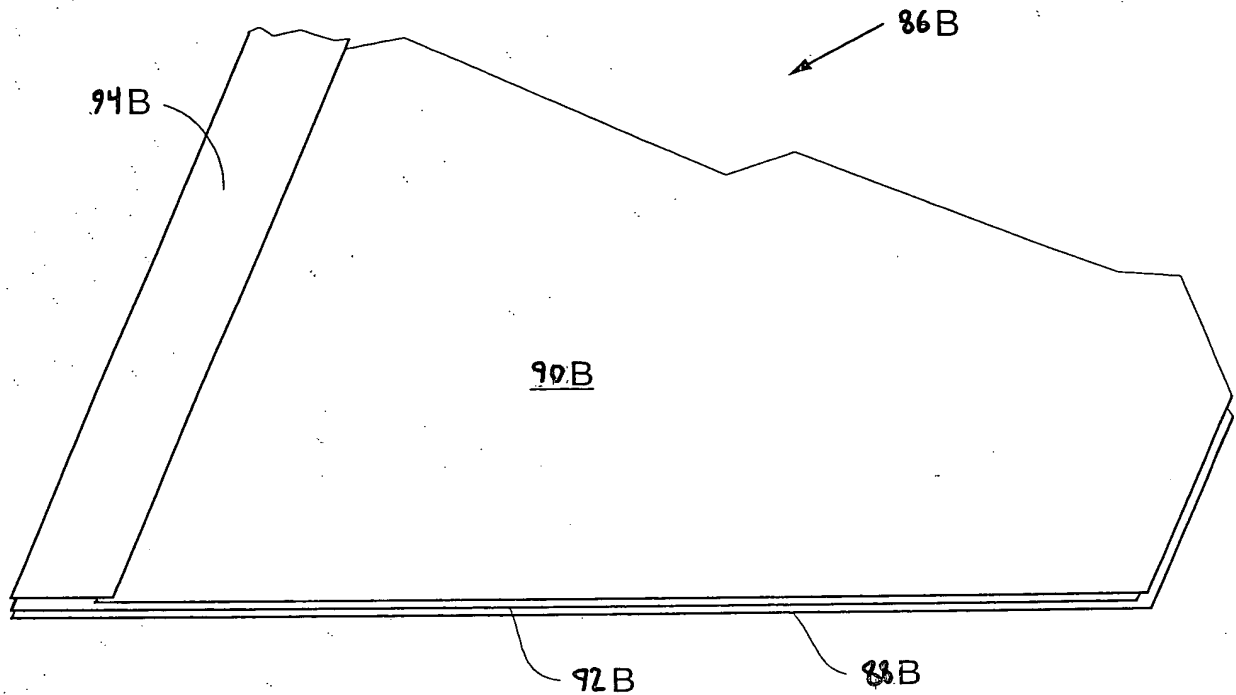


FIG. 10

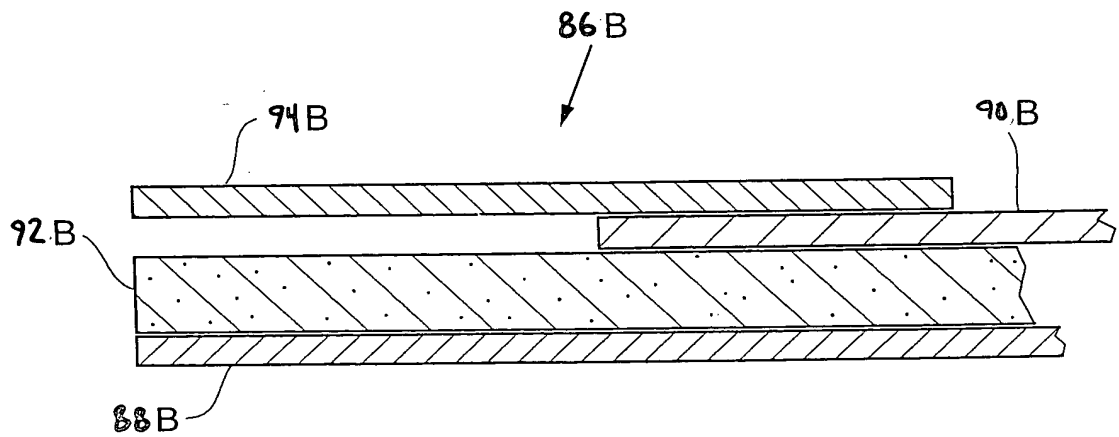
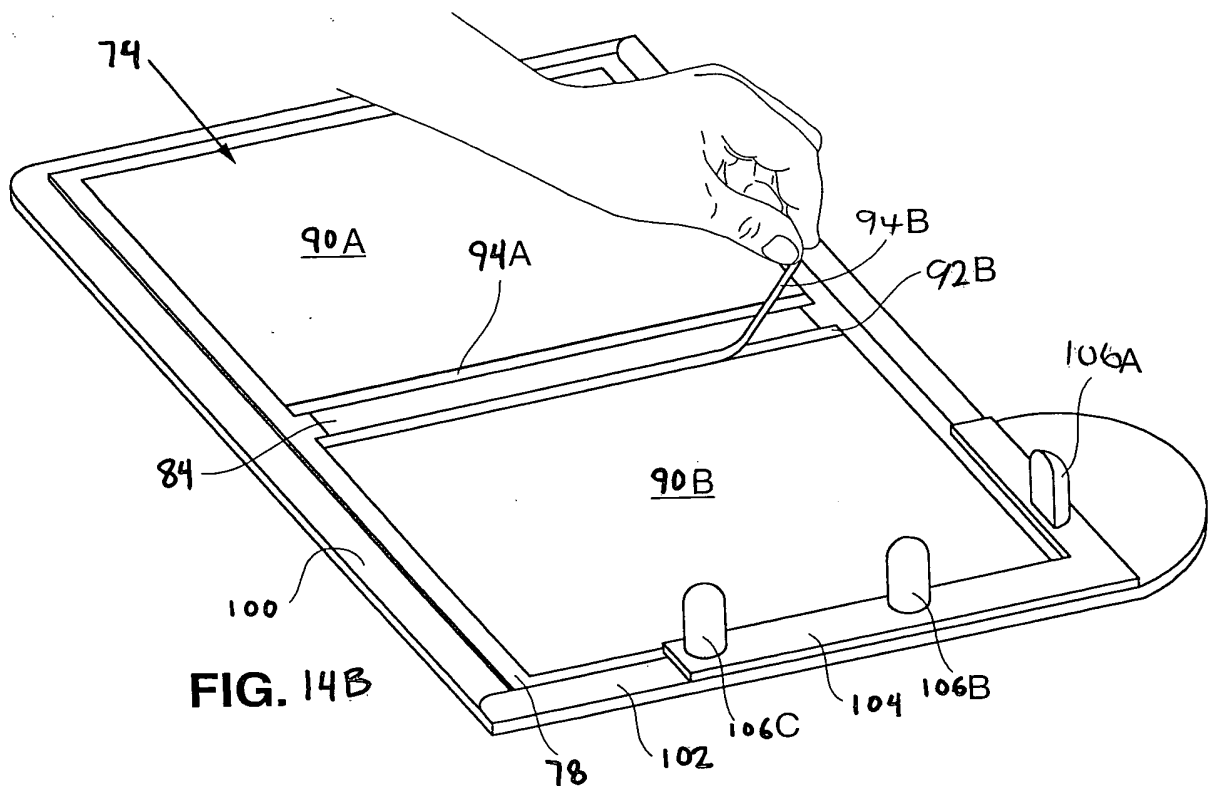
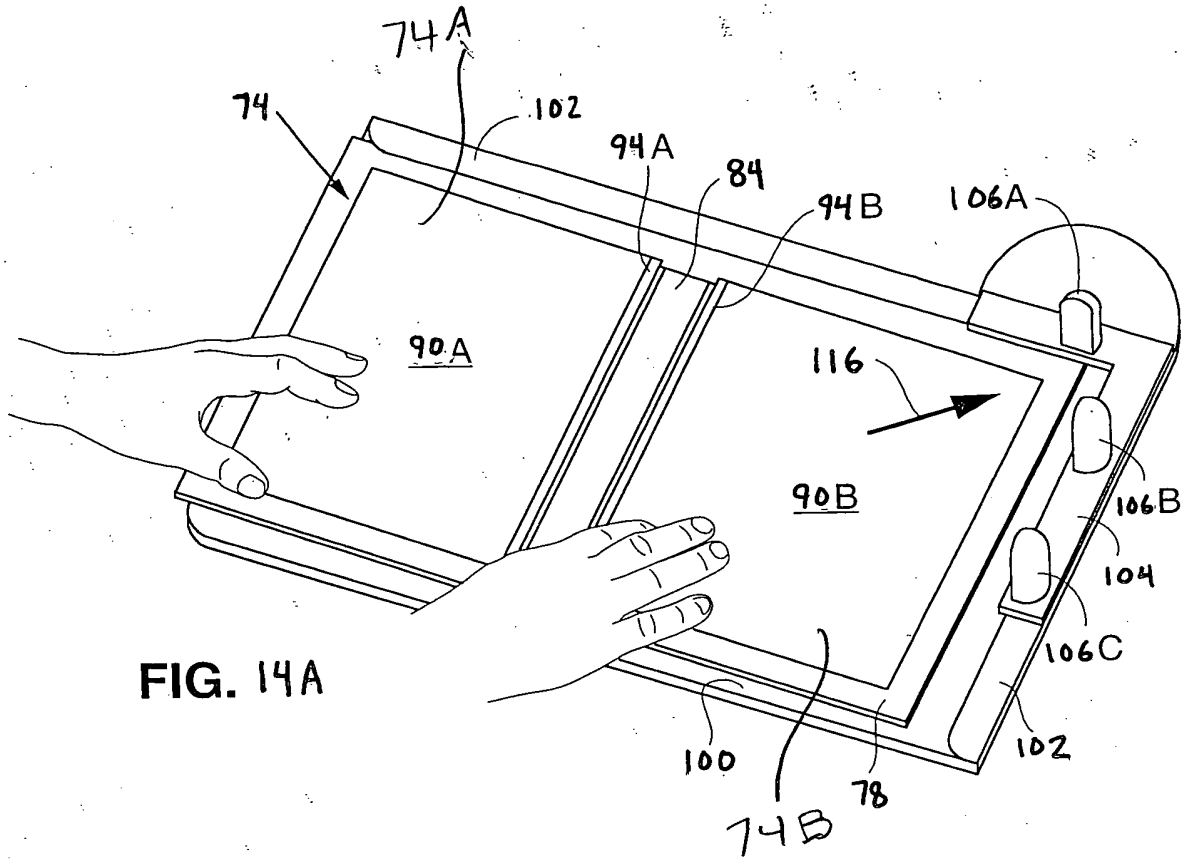
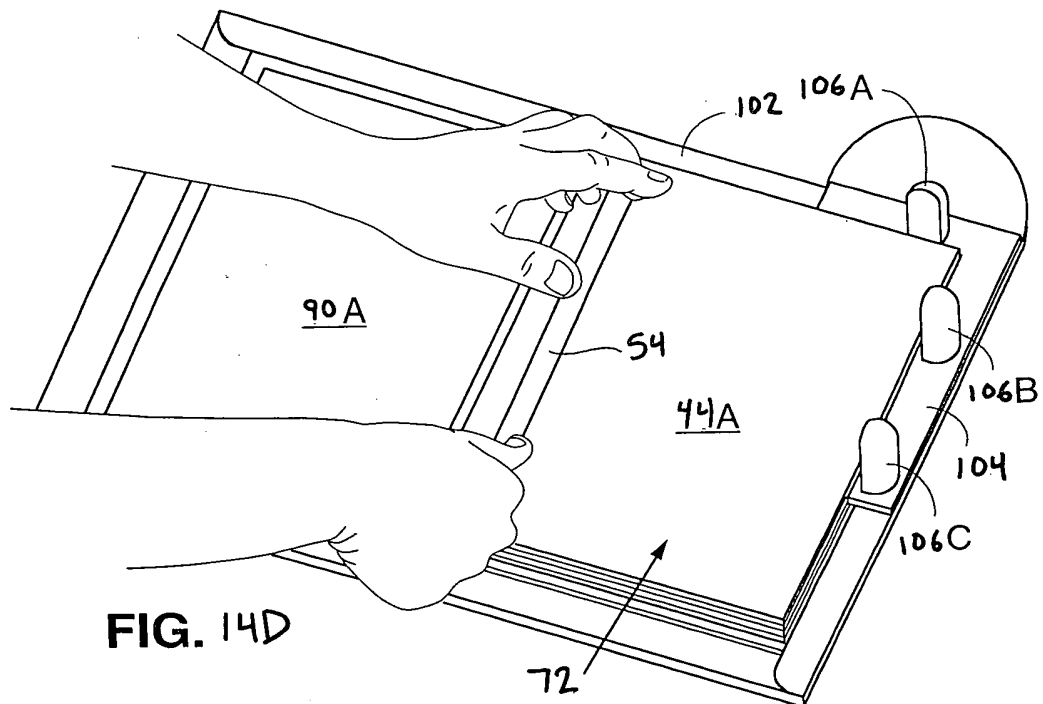
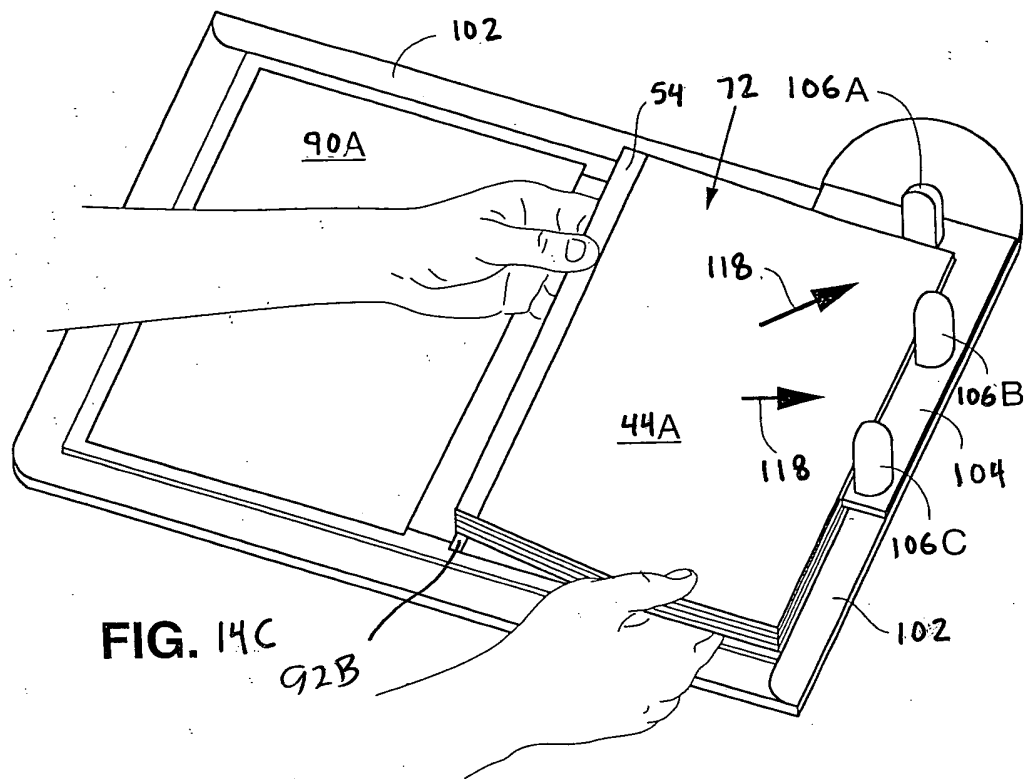


FIG. 11





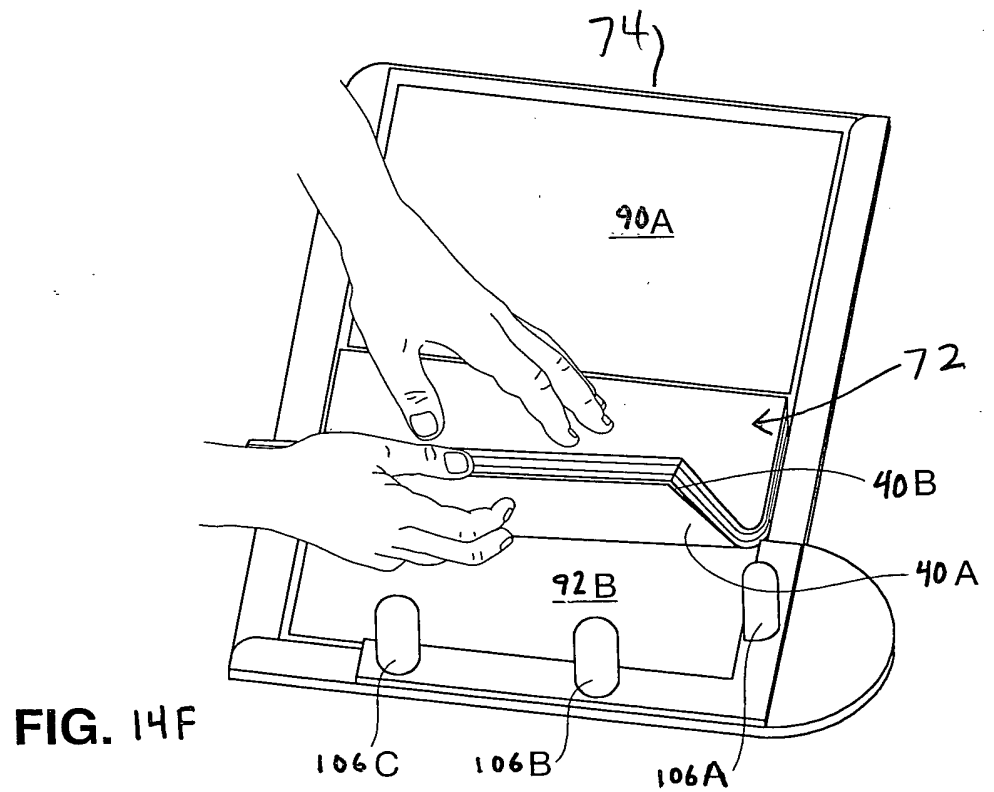
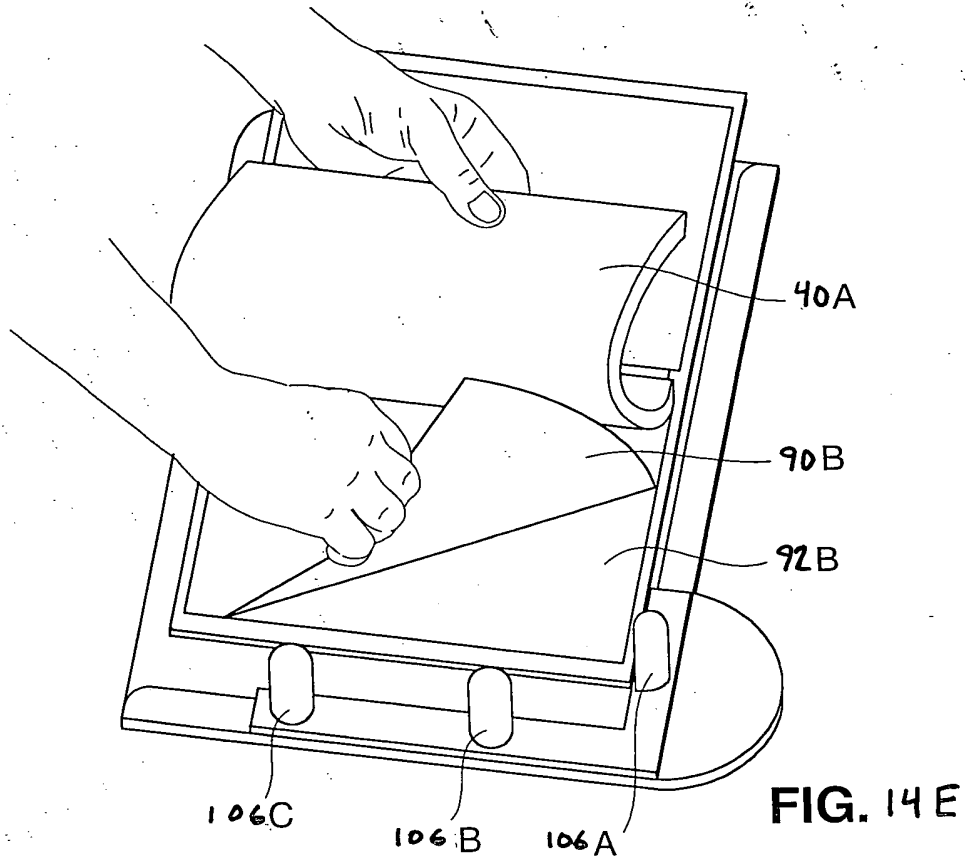


FIG. 14G

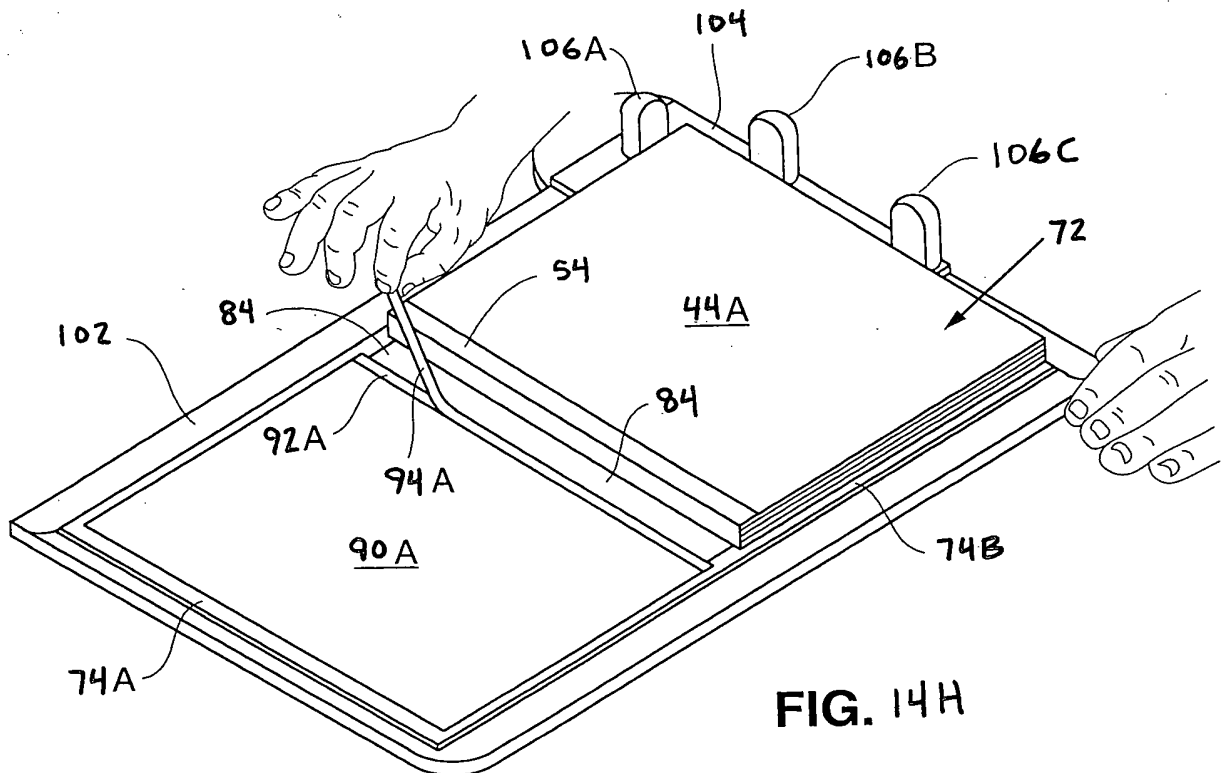
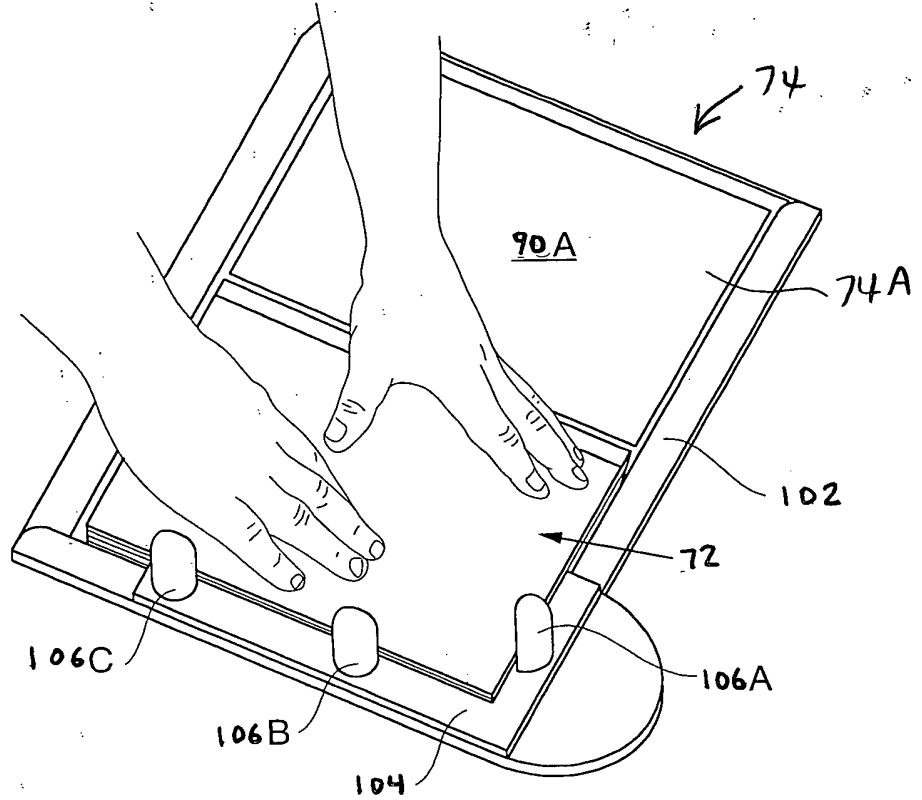
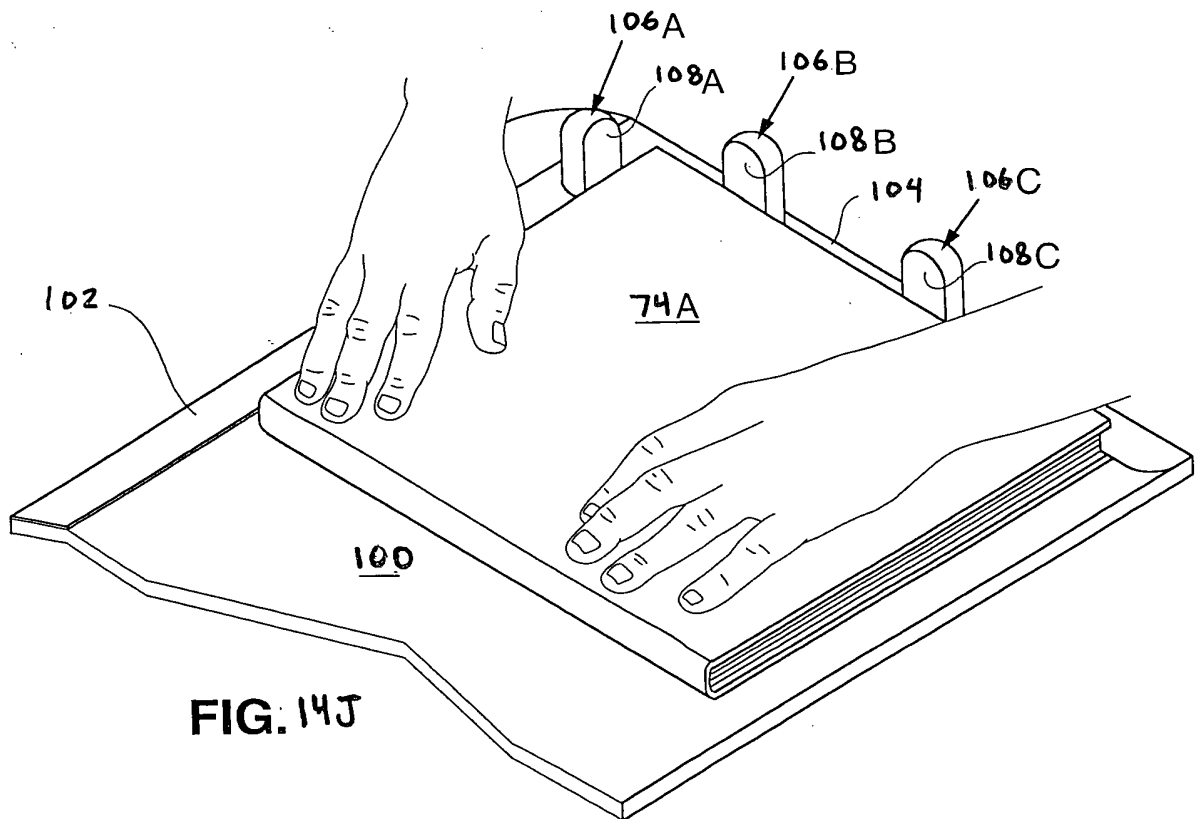
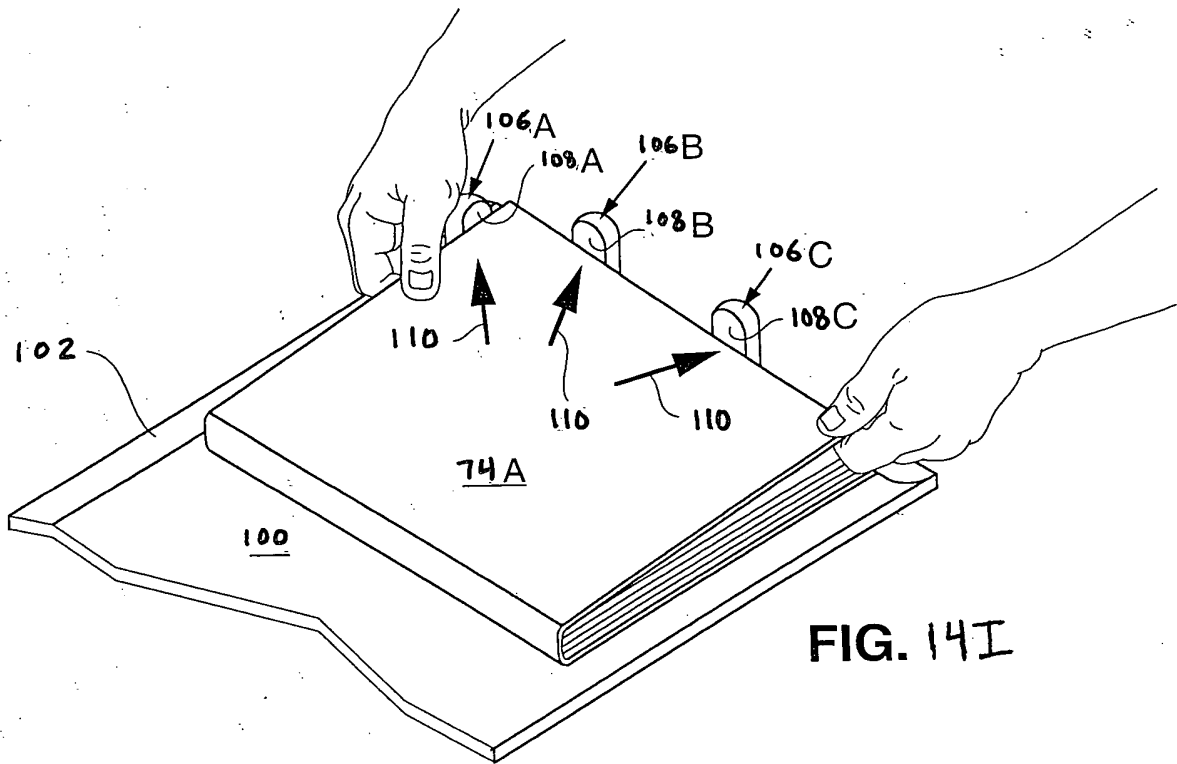
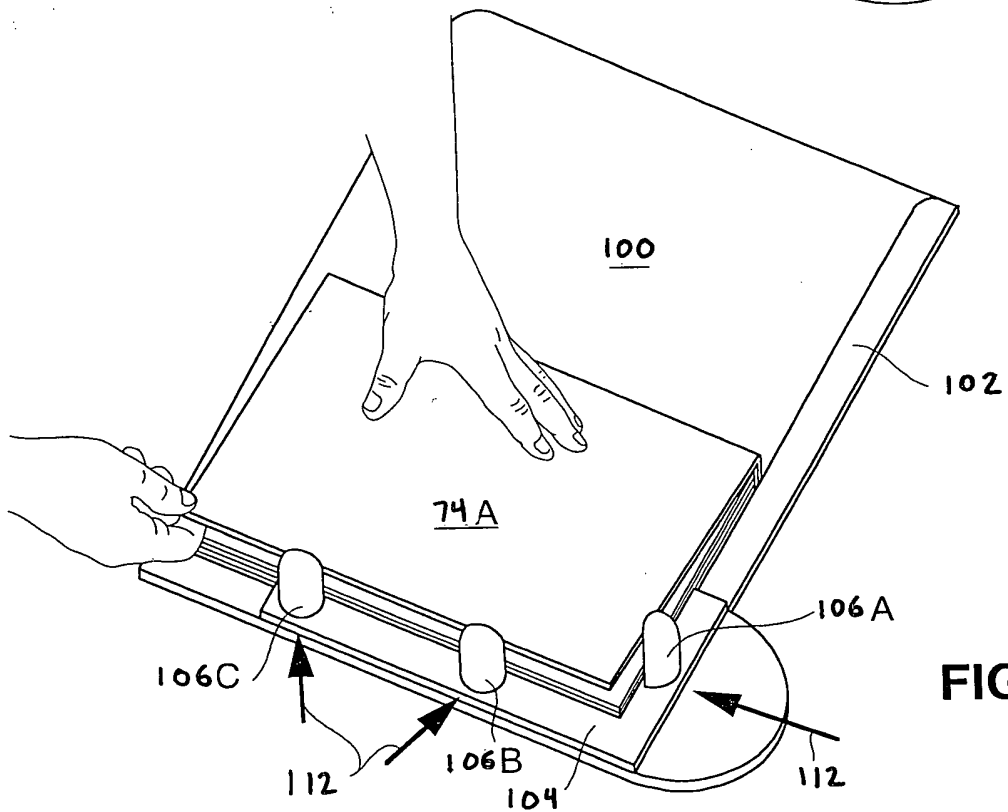
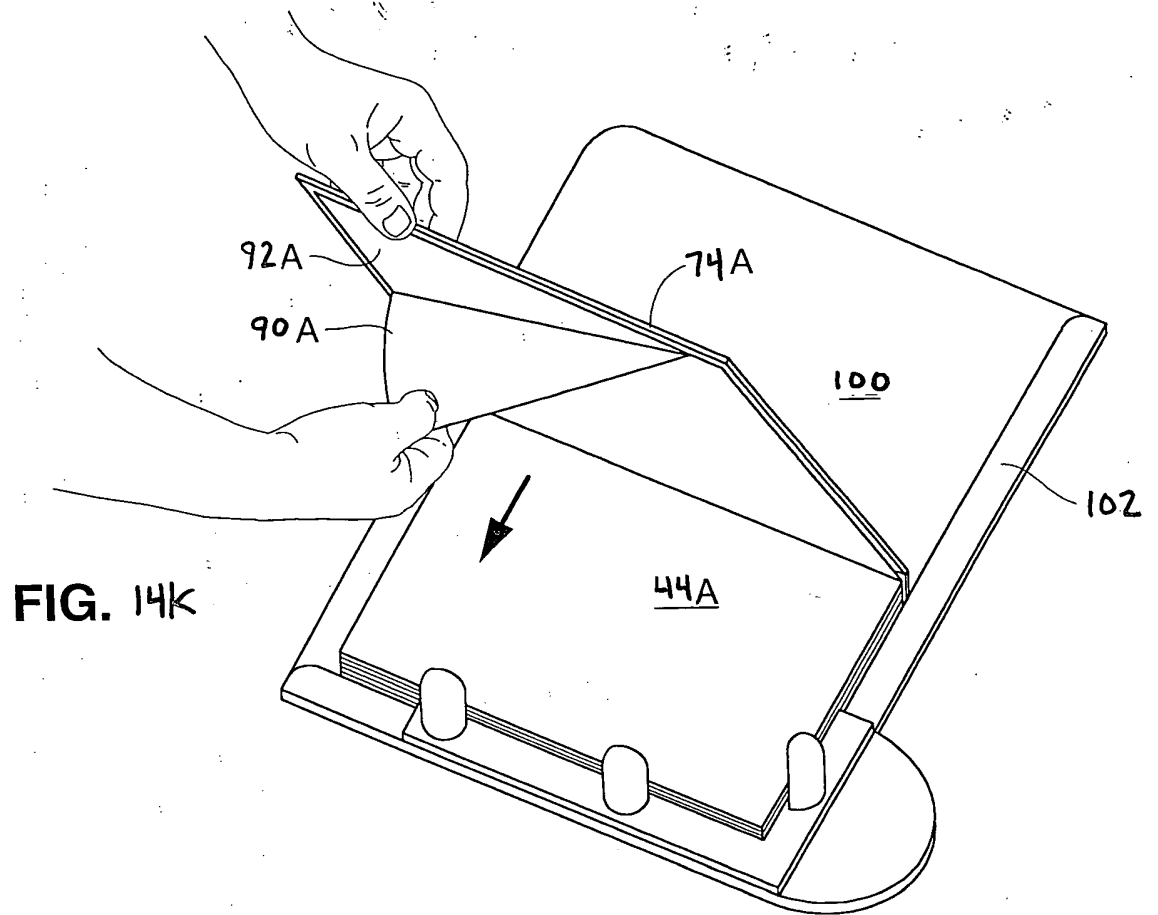


FIG. 14H





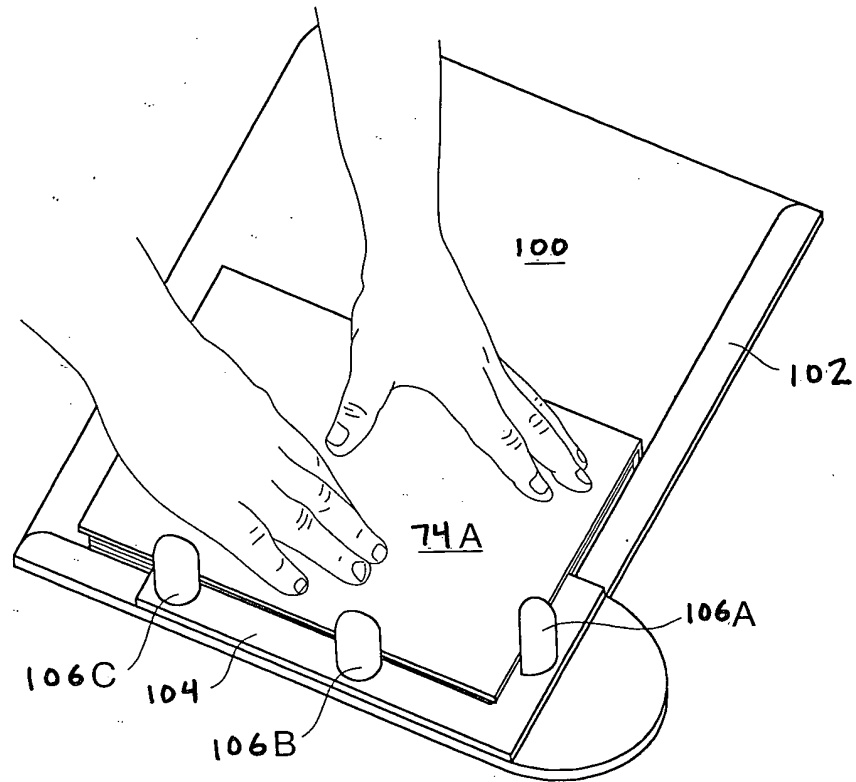
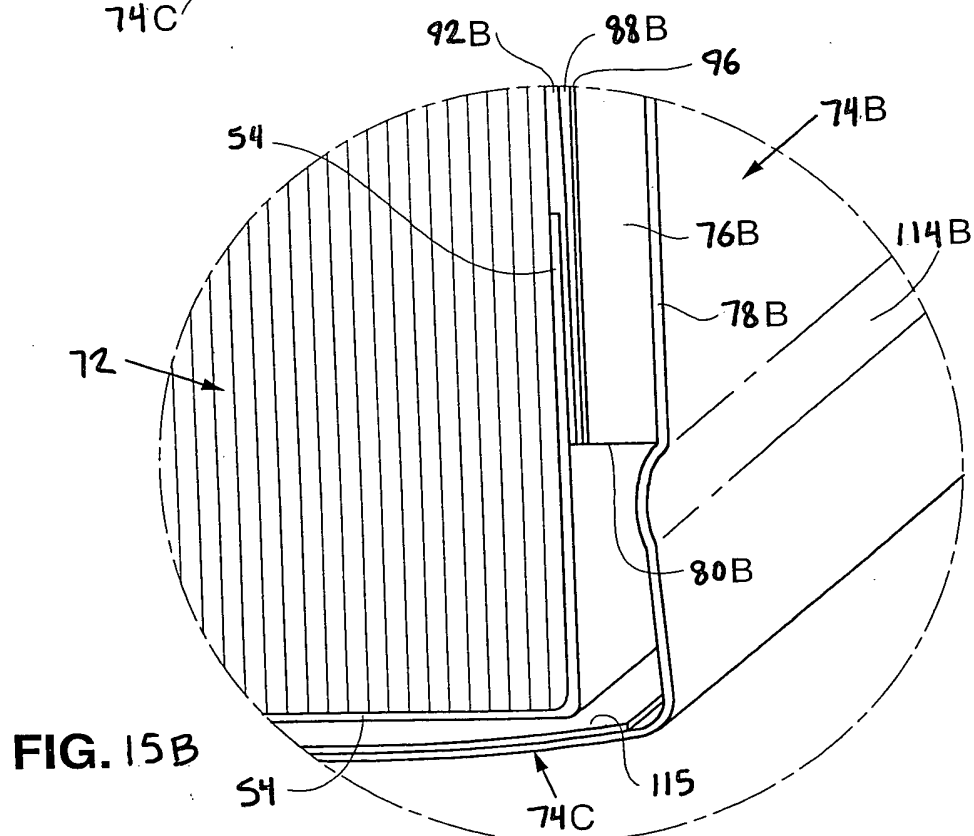
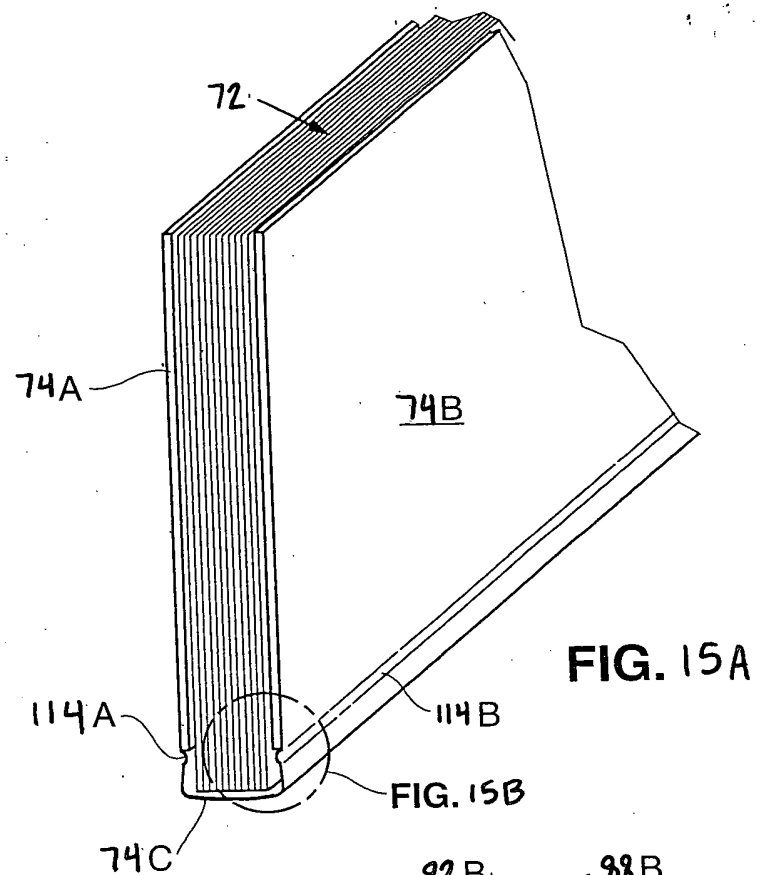


FIG. 14M



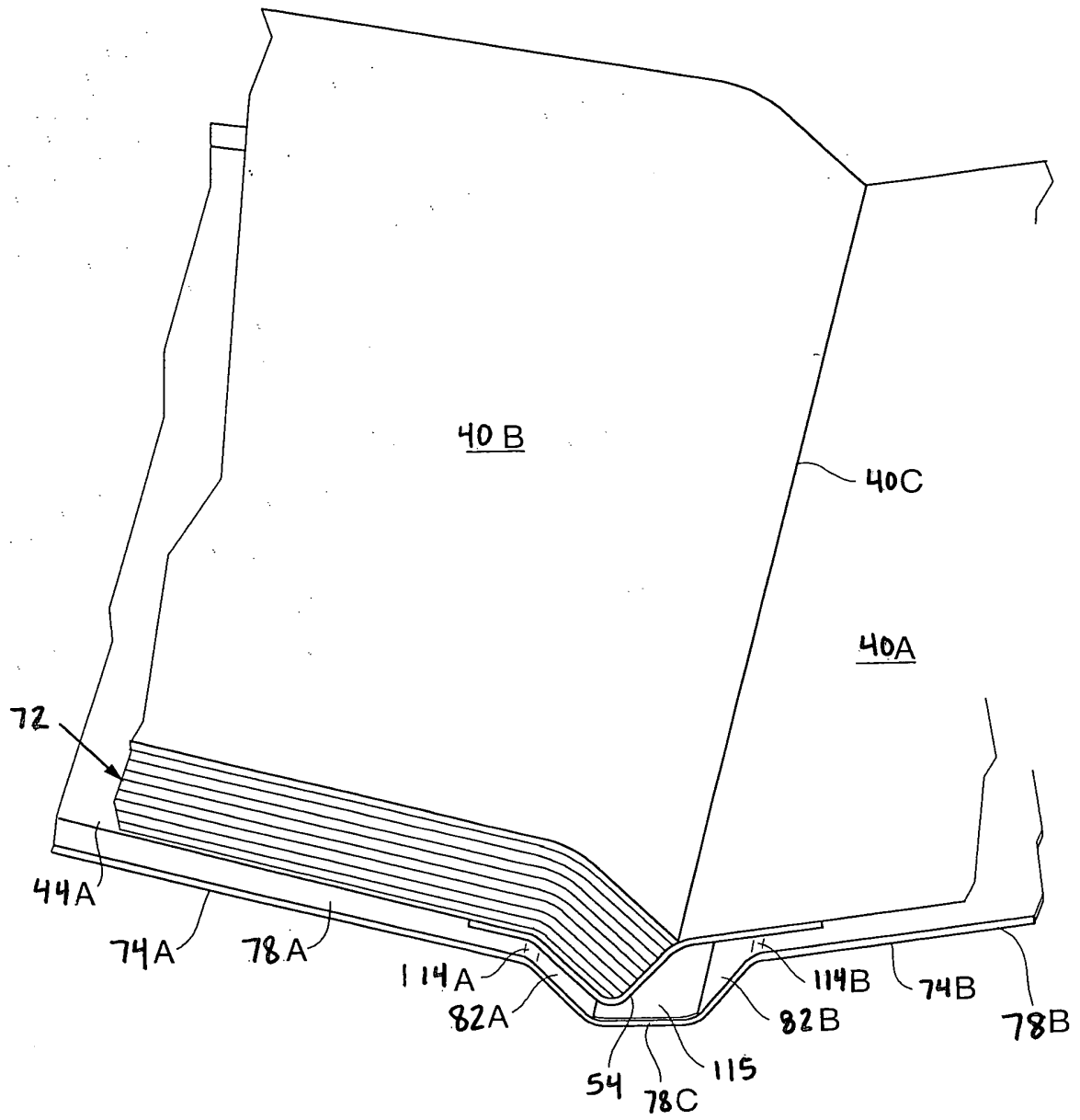
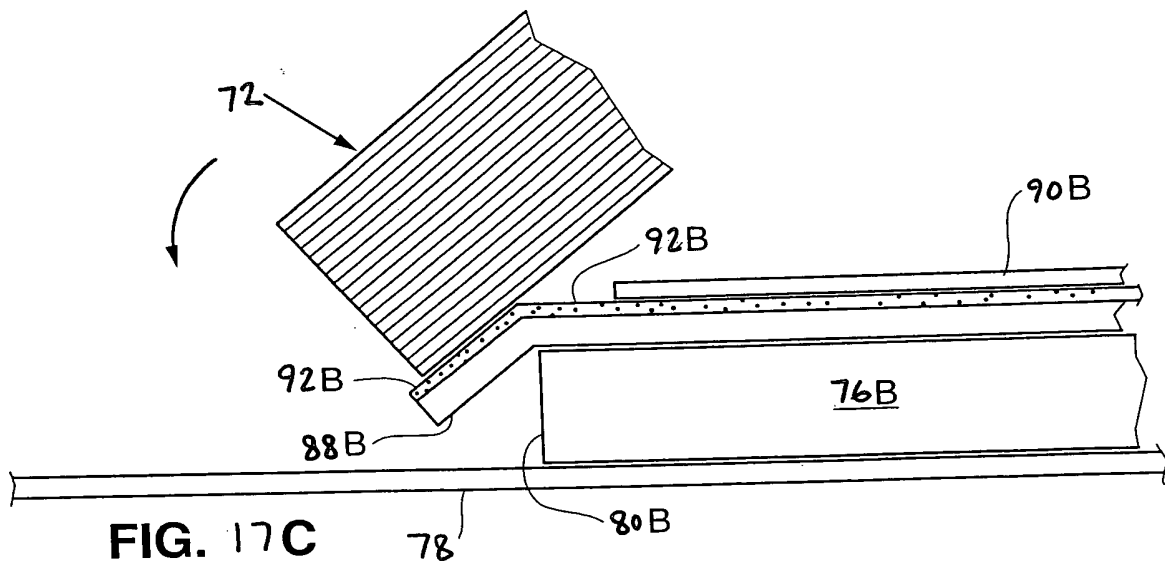
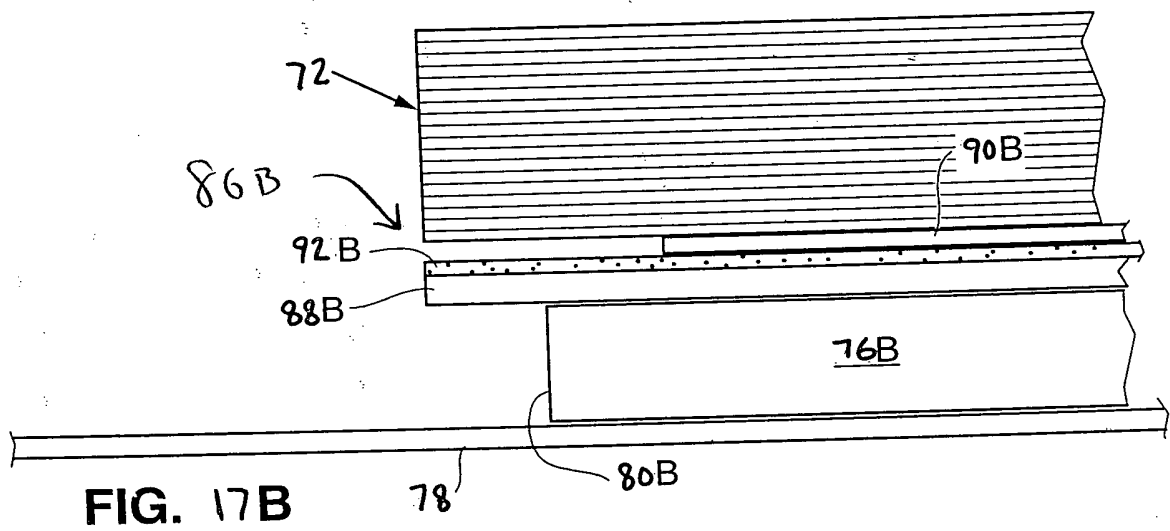
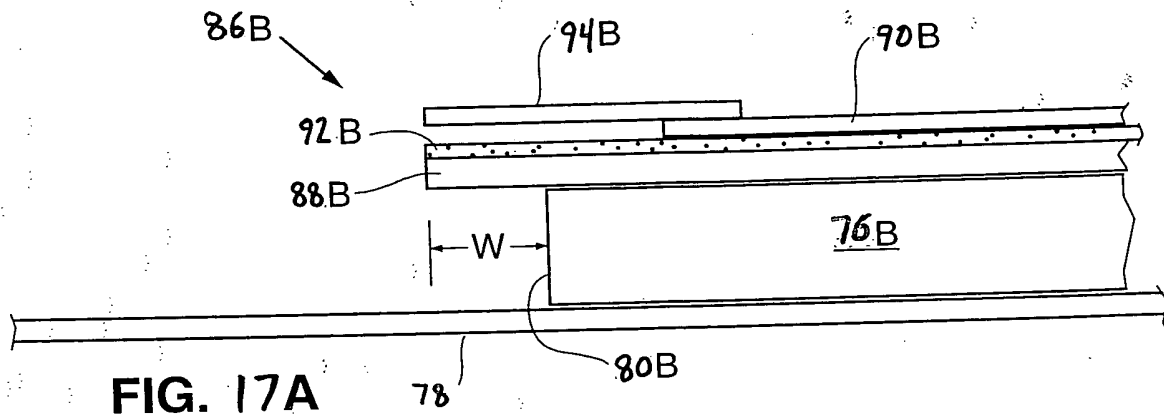
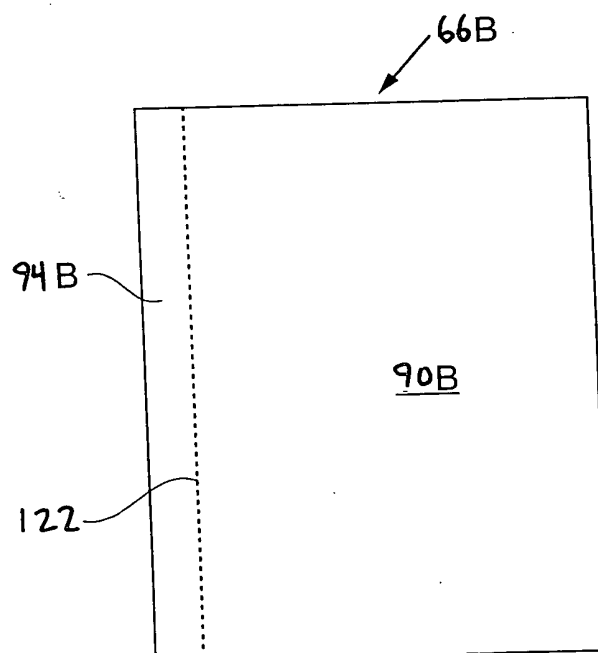
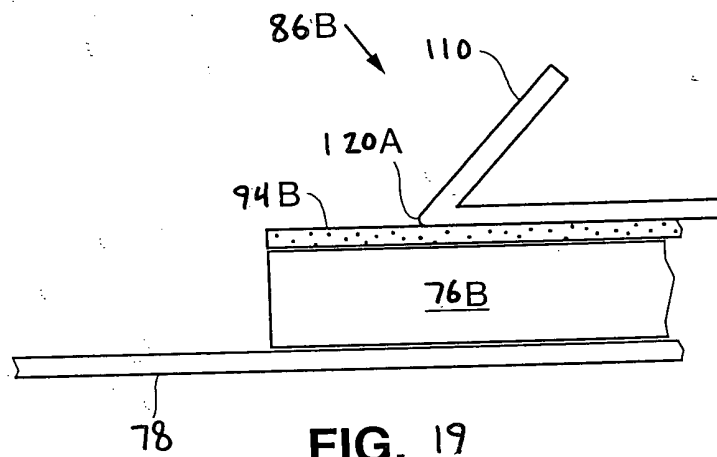
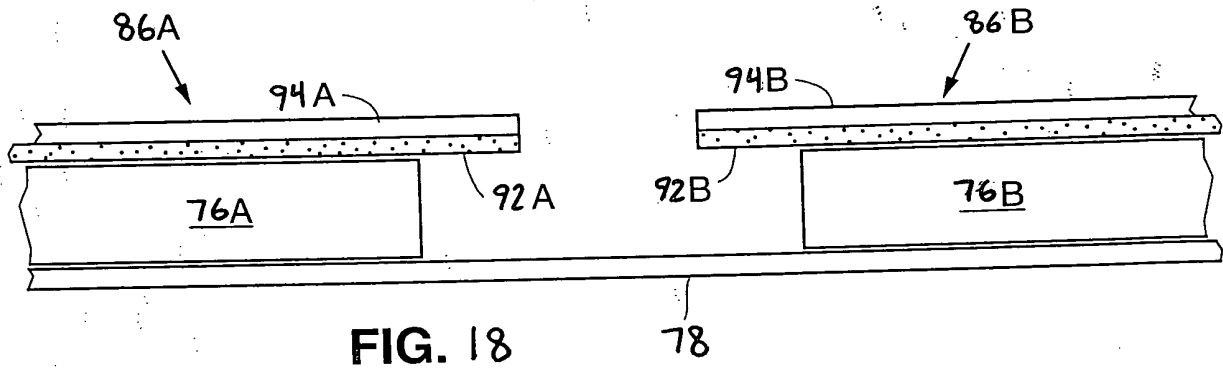


FIG. 16





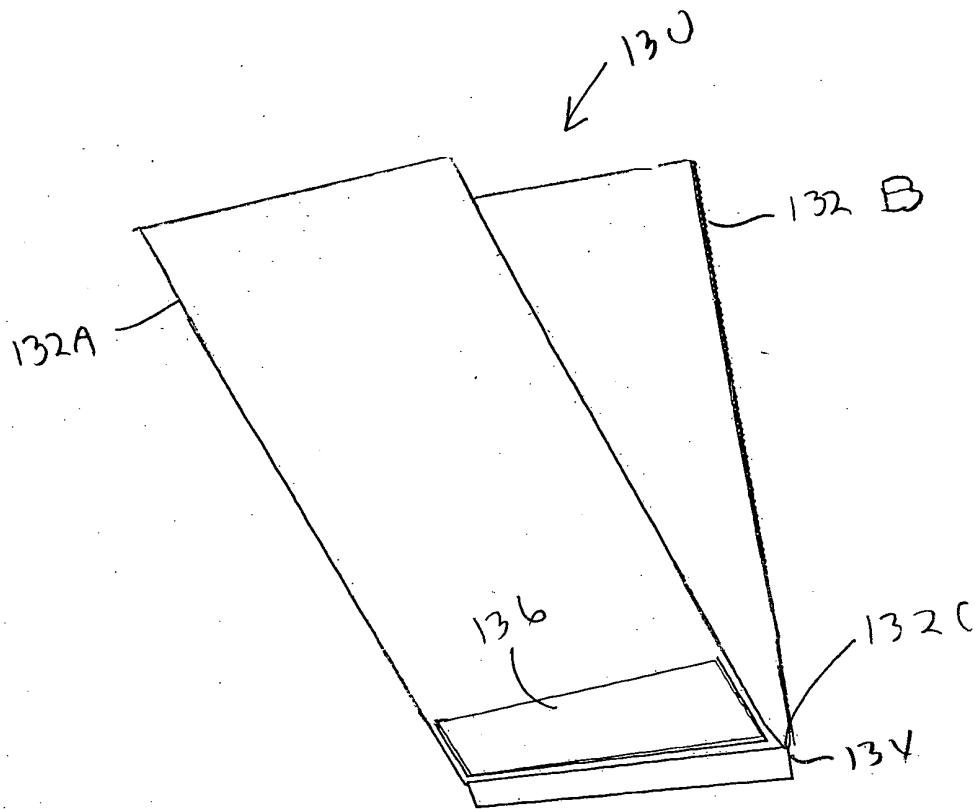


Fig. 21

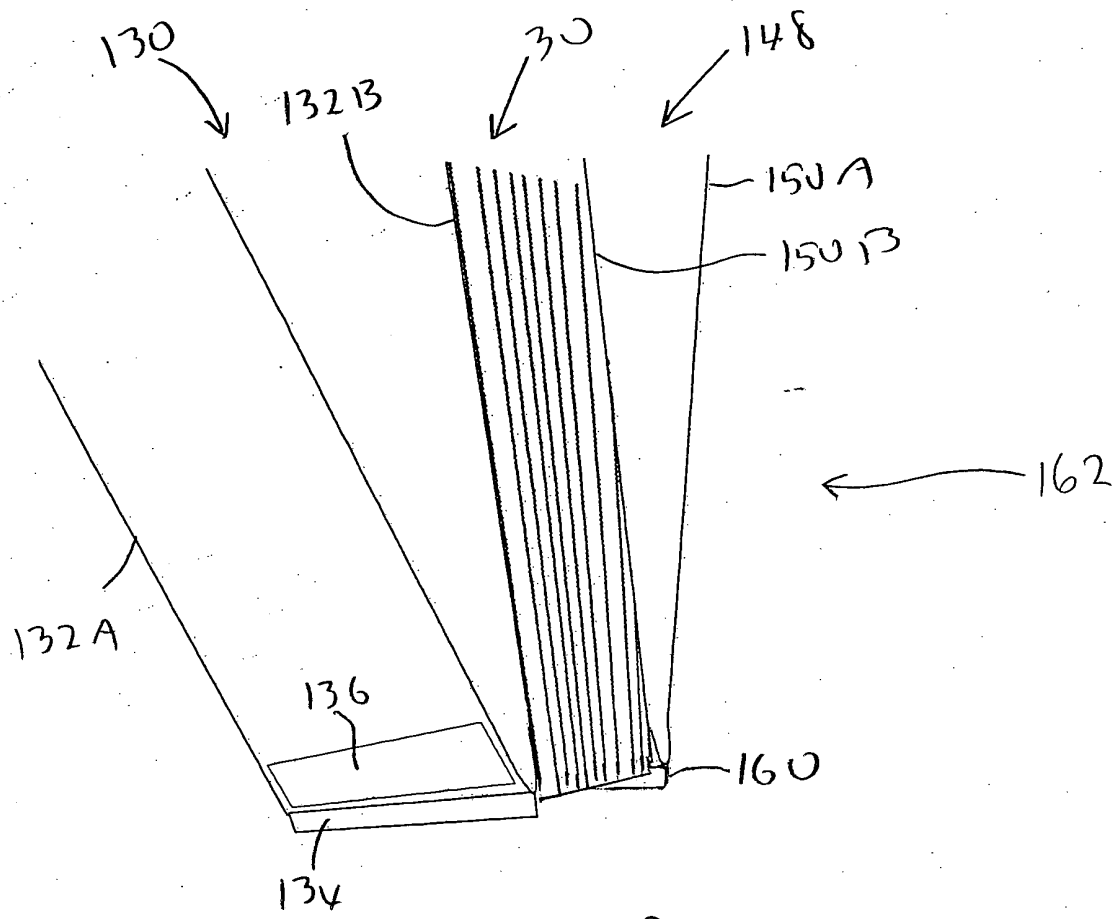


Fig. 22

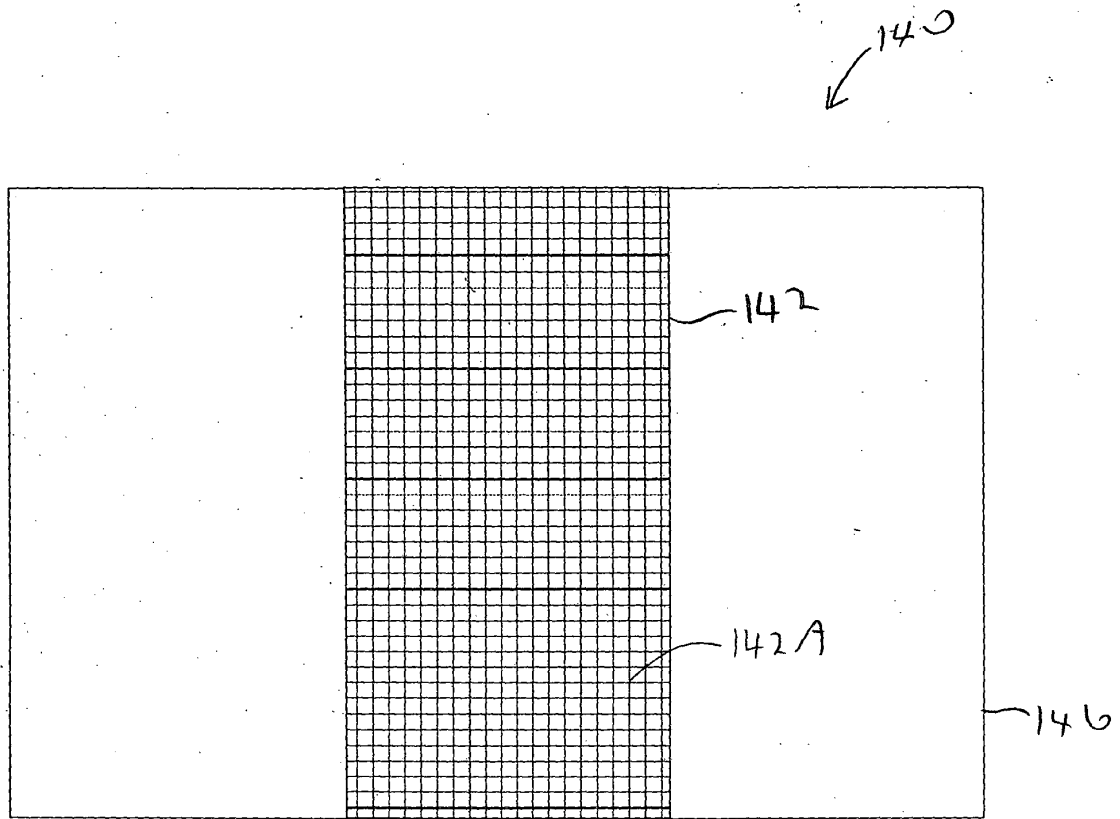


Fig. 23A

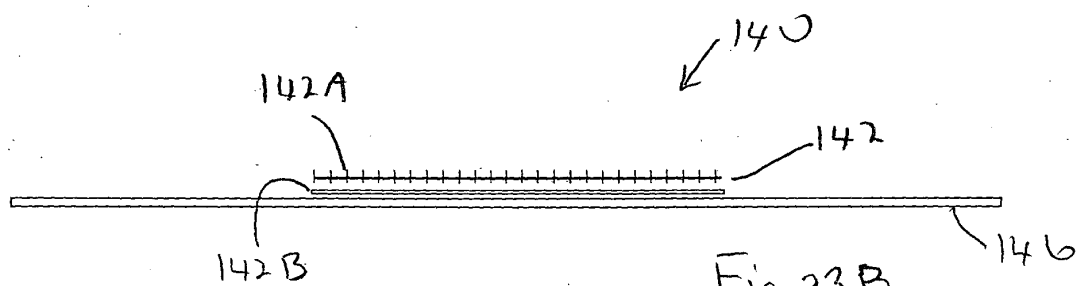
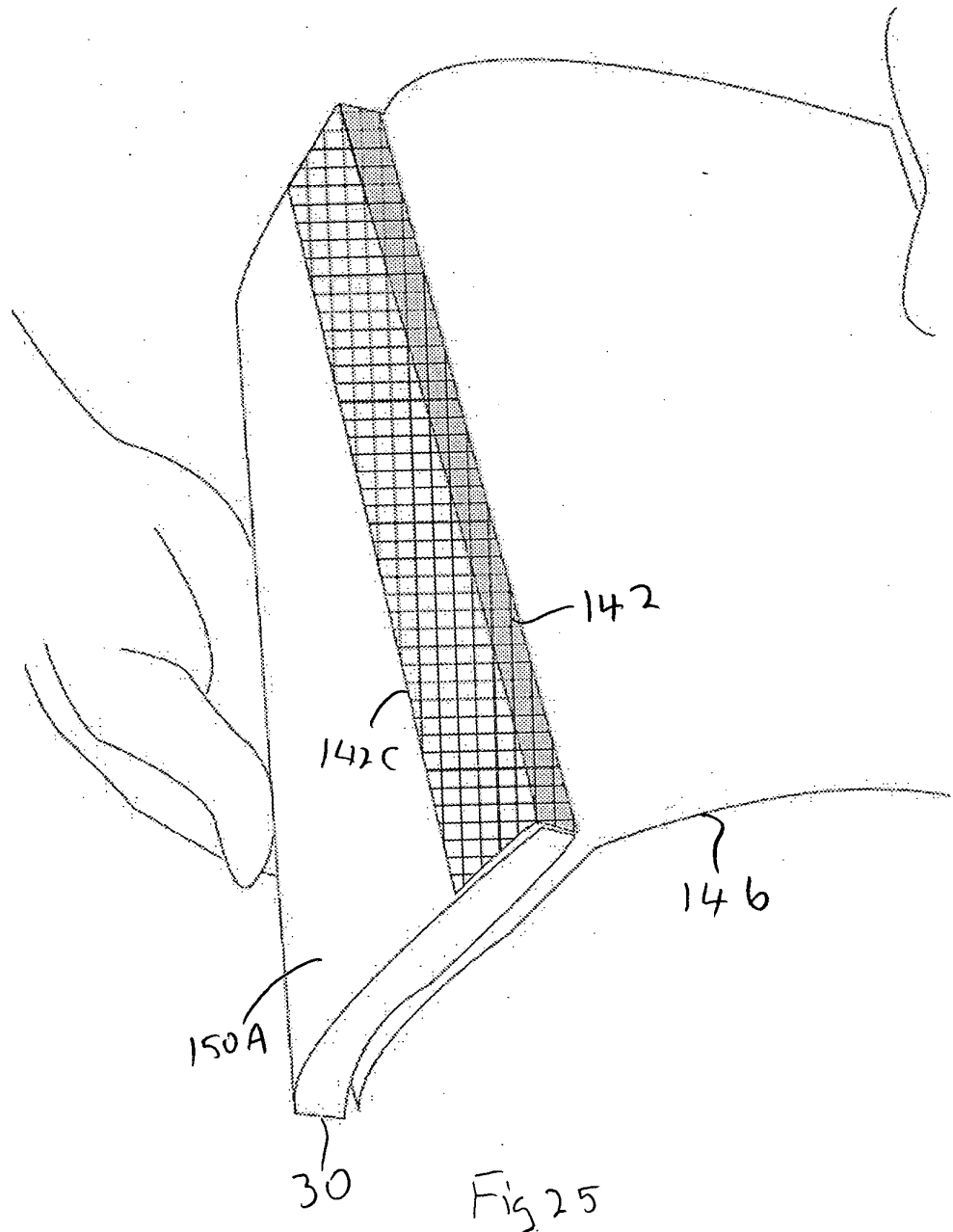


Fig. 23B



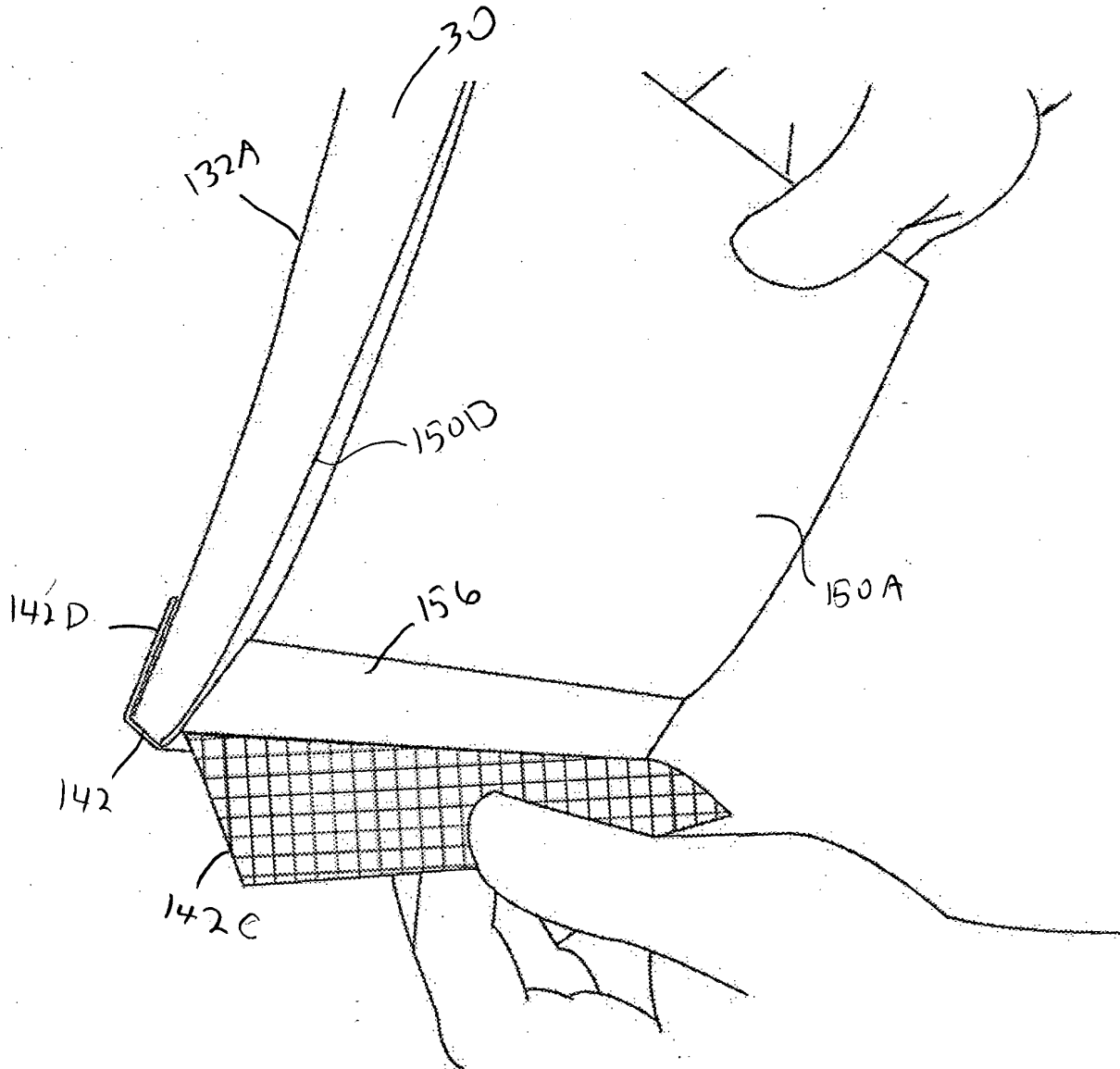


Fig. 26

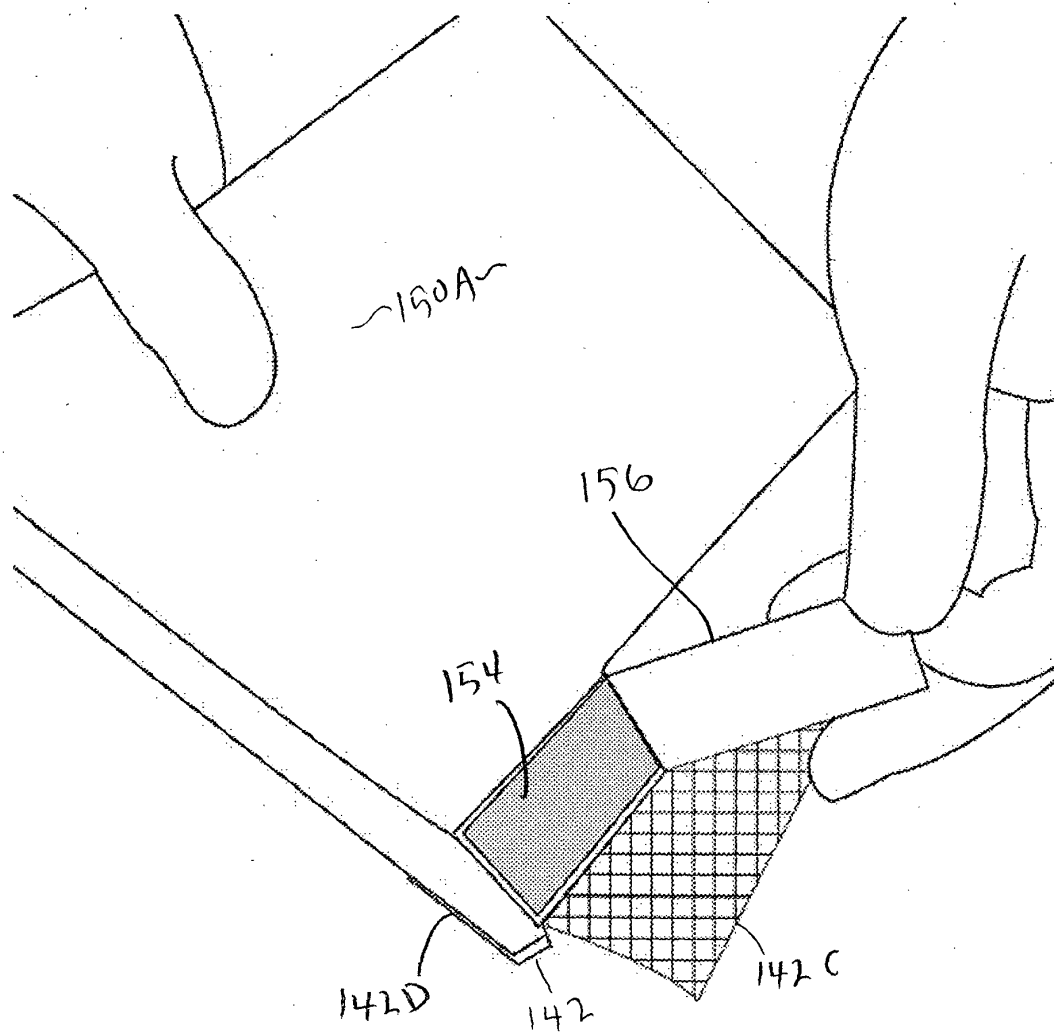


Fig. 27

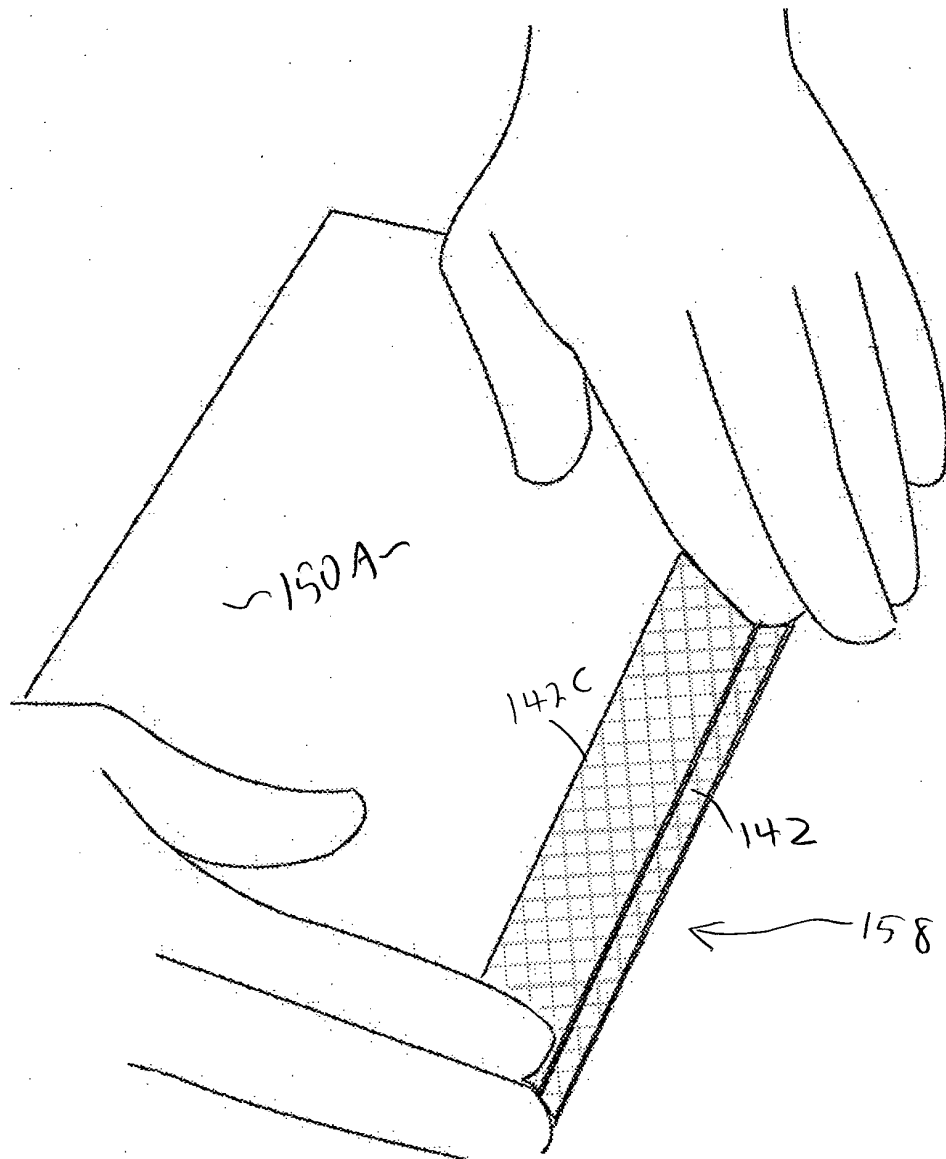


Fig 28